

**ТРАНСПОРТ ЗЕРНИСТОГО МАТЕРИАЛА
ЧЕРЕЗ ГОРИЗОНТАЛЬНУЮ РЕШЕТКУ
ПРИ НАЛИЧИИ ПРОТИВОТОКА ГАЗА**

УДК 66.096.5

Г. Г. Кувшинов

Институт катализа СО РАН, 630090 Новосибирск

1. Введение. В настоящей работе рассматривается вопрос о транспорте зернистого материала через горизонтальную решетку из плотного или псевдоожженного слоя в свободное пространство при наличии противотока газа. Этот вопрос имеет как практическое, так и теоретическое значение. На практике рассматриваемый процесс реализуется в аппаратах с движущимся и псевдоожженным слоями [1, 2], в секционирующих элементах, в узлах распределения дисперсного материала и газа и др. С теоретической точки зрения данная проблема интересна тем, что ее решение лежит в основе понимания закономерностей циркуляции дисперсного материала и теплопереноса через секционирующий элемент в условиях, когда псевдоожженный слой существует как над решеткой, так и под решеткой.

Вопрос о транспорте частиц через горизонтальную провальную решетку рассматривался лишь в нескольких экспериментальных работах [3–5].

На основе опубликованных данных можно отметить ряд особенностей процесса прохождения частиц через решетку из верхней секции в свободное подрешеточное пространство.

1. В отсутствие протока газа каждое отверстие решетки функционирует как одиночное, а суммарный расход дисперсного материала через решетку определяется суммированием одинаковых расходов по всем отверстиям.

2. С увеличением скорости газа расход дисперсного материала через решетку уменьшается.

3. Предельная усредненная по всем отверстиям скорость газа, при которой прекращается истечение дисперсного материала, существенно превышает предельную скорость газа в случае одиночного отверстия.

Наряду с отмеченными общими особенностями экспериментальные данные [4, 5] содержат и принципиальные качественные противоречия. В частности, в [4] отмечается зависимость предельной скорости газа от диаметра и плотности частиц, а в [5] такой зависимости не обнаружено. В то же время в [5] отмечена зависимость скорости истечения дисперсного материала от высоты псевдоожженного слоя на решетке, хотя в [4] этого обнаружено не было.

Указанные противоречия позволяют заключить, что результаты [4, 5] не являются бесспорными; ими сложно воспользоваться еще и потому, что в [4], например, не представлены первичные данные, а предлагаемые эмпирические соотношения дают противоречащие здравому смыслу значения величин (например, расчетная предельная скорость газа для частиц $d_s = 1$ мм составляет 113 м/с).

С другой стороны, в [5], хотя и представлены первичные результаты, однако величины расхода твердого материала через решетку, указанные на графиках, видимо, ошибочны, так как нет соответствия для одних и тех же условий между данными на различных рисунках.

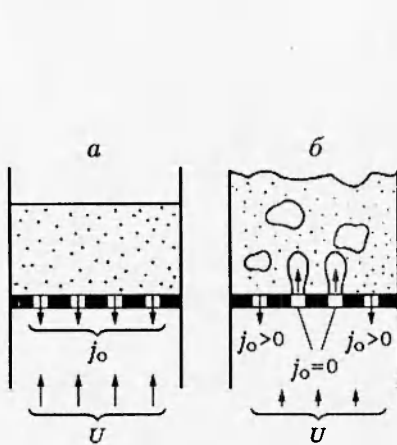


Рис. 1

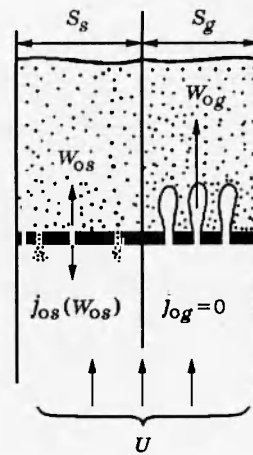


Рис. 2

Необходимо отметить также, что механизм и физические особенности истечения зернистого материала через решетку при наличии противотока газа в литературе не рассматривались.

В настоящей работе представлена физическая модель исследуемого процесса, на основе которой развита приближенная теория истечения зернистого материала, позволившая получить соотношения для расчета расхода дисперсного материала и предельной скорости газа, не содержащие новых эмпирических констант.

2. Истечение зернистого материала при малых скоростях газа. Анализ опубликованных данных и экспериментальных результатов настоящей работы позволяет выделить два основных режима течения зернистого материала через решетку: режим плотного слоя, соответствующий малым скоростям газа (рис. 1, а), и режим псевдоожиженного слоя, отвечающий большим скоростям газа, при которых происходит псевдоожижение дисперсного материала на провальной решетке (рис. 1, б).

Рассматриваются секционирующие решетки или сетки с одинаковыми, равномерно расположенными отверстиями. Течение зернистого материала через такие решетки в режиме плотного слоя характеризуется равномерным распределением газа между отверстиями. При этом расход зернистого материала j_o в каждом отверстии будет одинаков, подобно тому, как это имеет место в случае, когда расход газа через решетку равен нулю [4].

При равномерном распределении потока газа и частиц по отверстиям суммарный расход частиц на единицу площади решетки можно выразить в виде

$$j = j_{os}\varphi, \quad (2.1)$$

где $j_{os} = j_o/S_o$ — массовый поток частиц на единицу площади отверстия (S_o — площадь отверстия). Величина j_{os} может быть определена на основе соотношения для одиночного отверстия в условиях противотока газа и частиц [6, 7]:

$$j_{os} = K \rho_d \left(\frac{(\pi d_s^3 \rho_s g - 6F_g) d_o}{\pi d_s^3 \rho_s} \right)^{1/2} (1 - d_s/d_o)^{5/2}. \quad (2.2)$$

Здесь и ниже

$$K = \frac{4((1-\varepsilon)/3)^{3/2}/(1-\varepsilon_0)}{\ln(\exp(3(2-2^{1/2})(1-\varepsilon)/2) - \exp(3(2-2^{1/2})(1-\varepsilon)-1)^{1/2})};$$

$$F_g = 12,5\pi(1-\varepsilon)d_s\rho_g\nu_gW_o/\varepsilon^3 + 7,29 \cdot 10^{-2}\pi d_s^2\rho_g W_o^2/\varepsilon^3; \quad W_o = U/\varphi;$$

ρ_g, ρ_d, ρ_s — плотность газа, неподвижного слоя и частиц ($\rho_d = (1-\varepsilon_0)\rho_s$); $\varepsilon_0, \varepsilon$ — порозность неподвижного слоя и свода; d_s, d_o — диаметр частицы и отверстия; ν_g — кинематическая вязкость газа; U, W_o — скорость газа перед решеткой и в отверстии; φ — относительное свободное сечение решетки.

Очевидно, что формула (2.1) должна быть справедлива в диапазоне скоростей газа, не превышающих предельную скорость U_1 , выше которой режим истечения не является равномерным.

Действительно, при сохранении равномерного распределения газа между отверстиями течение зернистого материала должно прекратиться при скорости газа в аппарате $U = W_{oc}\varphi$, где W_{oc} — критическая скорость газа в одиночном отверстии, соотношение для расчета которой имеет вид [6, 7]

$$W_{oc} = \frac{4\text{Ar} \nu_g/d_s}{150(1-\varepsilon)/\varepsilon^3 + ((150(1-\varepsilon)/\varepsilon^3)^2 + 4\text{Ar} 1,75/\varepsilon^3)^{1/2}} \quad (2.3)$$

($\text{Ar} = d_s^3 \rho_s g / (\rho_g \nu_g^2)$ — число Архимеда). Однако этого, как было отмечено выше, не происходит. Поток частиц через решетку прекращается при средних скоростях газа \bar{U}_2 , многократно превышающих значение $W_{oc}\varphi$, что указывает на особый механизм истечения дисперсного материала через решетку в условиях повышенных скоростей газа, связанный с неравномерной работой отверстий.

3. Транспорт зернистого материала при $U > U_1$. Физическая модель. Наблюдаемое на практике течение зернистого материала через решетку при скоростях газа, превышающих $W_{oc}\varphi$, можно объяснить, предположив, что при повышенных скоростях газа, начиная с некоторой скорости U_1 , происходит перераспределение газа между отверстиями.

Схематично распределение потоков газа и частиц показано на рис. 2, где S_s, S_g — доли отверстий типа s и g ; $W_{os}, W_{og}, j_{os}, j_{og}$ — средние скорости газа и плотности потока частиц в отверстиях s и g соответственно. Предполагается, что на решетке существуют лишь два типа отверстий g и s с характерными скоростями газа в отверстиях W_{og} и W_{os} , причем $W_{og} > W_{oc}, W_{os} < W_{oc}$. Очевидно, что в этом случае отверстия g заблокированы потоком газа ($j_{og} = 0$), а отверстия s не заблокированы ($j_{os} > 0$). При этом средняя скорость газа в отверстиях s и g может быть выше W_{oc} , и в то же время зернистый материал благодаря отверстиям s будет транспортироваться через решетку из верхней секции в нижнюю. Такое перераспределение газа вполне возможно в случае образования газовых пузырей на решетке (при наличии псевдоожженного слоя над решеткой).

Действительно, в отсутствие газовых пузырей при заданном перепаде давления на решетке скорость газа в отверстии в значительной мере определяется гидравлическим сопротивлением, связанным с истечением газа в плотную засыпку. При образовании на отверстии пузыря (переходе отверстия s в g) это сопротивление резко уменьшается, благодаря чему скорость газа в данном отверстии возрастает, а в отверстиях типа s уменьшается. При дальнейшем увеличении подачи газа под решетку произойдет образование газовых пузырей на дополнительных отверстиях, имеющих наименьшее гидравлическое сопротивление и наибольшую скорость газа.

Таким образом, с увеличением скорости газа доля отверстий s будет уменьшаться, а доля отверстий g — возрастать. В случае, когда $a \ll H_b$ (a — расстояние между смежными отверстиями, H_b — высота слоя), такими отверстиями могут быть отверстия s , ближайшие к отверстиям g (смежные с отверстиями g). Если $a \approx H_b$, то в первую очередь смена режима будет происходить на отверстиях, высота слоя над которыми минимальна. Ниже рассматривается случай $a \ll H_b$.

Исходя из изложенного, можно принять, что физический механизм транспорта частиц при наличии псевдоожженного слоя на решетке ($U > U_1$) состоит в следующем:

- благодаря образованию газовых пузырей на решетке происходит перераспределение потока газа между отверстиями;
- существует два основных типа отверстий: пропускающие частицы (малые скорости газа, отверстия s) и не пропускающие частицы (большие скорости газа, отверстия g);
- скорость газа в отверстиях определяется их гидравлическим сопротивлением, включающим составляющую, которая связана с распределением дисперсного материала над отверстием;
- расход дисперсного материала через решетку определяется плотностью потока частиц $j_{os}(W_{os})$ из отверстий s и долей этих отверстий S_s на решетке при заданной скорости газа;
- скорость газа U_1 , при которой происходит переход от равномерной работы отверстий к неравномерной, должна соответствовать максимальной скорости, при которой $S_s = 1$;
- предельная скорость газа U_2 , при которой течение зернистого материала прекращается, отвечает условию перехода всех отверстий решетки в режим g , т. е. $S_g = 1$;
- в диапазоне скоростей $U_1 \div U_2$ работа каждого отверстия характеризуется периодической сменой указанных режимов, в то время как суммарное количество отверстий каждого типа при постоянной скорости газа остается неизменным.

В рамках предложенной модели основными проблемами расчета расхода дисперсного материала через решетку и предельных скоростей газа U_1 и U_2 являются вопросы определения скоростей газа в отверстиях и числа отверстий каждого типа при заданной скорости газа в аппарате. В свою очередь, эти характеристики в существенной мере зависят от перепада давления на решетке.

Падение давления на решетке. Качественная картина распределения давления газа вблизи решетки показана на рис. 3, где кривая 1 и поверхность пузыря являются изобарами, соответствующими давлению газа в пузыре P_b . Обозначим давление газа под решеткой P_p . Необходимо найти перепад давления:

$$\Delta P = P_p - P_b.$$

Рассмотрев течение газа через отверстие s , получим

$$\Delta P = \Delta P_{ps} + \Delta P_{ss}.$$

Здесь ΔP_{ps} — падение давления непосредственно на отверстии s ; ΔP_{ss} — перепад в засыпке на отрезке x от отверстия до изобары 1. Полагая, что $W_{os} \ll W_{og}$, имеем $\Delta P_{ps} \ll \Delta P_{ss}$ и

$$\Delta P \approx \Delta P_{ss}. \quad (3.1)$$

Используя представления о формировании над отверстием динамического свода частиц радиусом $r_o - r_s$ (r_o, r_s — радиусы отверстия и частицы) [6, 7] при истечении дисперсного материала из одиночного отверстия, величину ΔP_{ss} для $H_b \gg a$ можно оценить

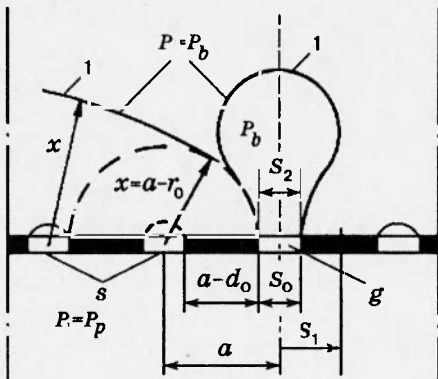


Рис. 3

на основе соотношения

$$\Delta P_{ss} \simeq \Delta P(x) = \int_{r_o - r_s}^x P_e(x) dx, \quad (3.2)$$

где $P_e(x)$ — перепад давления на единицу высоты засыпки, определяемый на основе уравнения Эргана [8]:

$$P_e(x) = A_1 U_s(x) + B_1 U_s^2(x). \quad (3.3)$$

Здесь

$$A_1 = 150 \frac{(1 - \varepsilon_0)^2}{\varepsilon_0^3 d_s^2} \rho_g \nu_g, \quad B_1 = 1,75 \frac{1 - \varepsilon_0}{\varepsilon_0^3 d_s^2} \frac{\rho_g}{d_s} \quad (3.4)$$

(U_s — скорость фильтрации в рассматриваемой точке).

Считая течение газа вблизи отверстия s сферически-симметричным, получим

$$U_s(x) = W_{os} r_o^2 / (2x^2).$$

После интегрирования (3.2) с учетом (3.3), (3.4) имеем

$$\Delta P(x) = A_1 \frac{W_{os} r_o^2}{2} \left(\frac{1}{r_o - r_s} - \frac{1}{x} \right) + B_1 \frac{W_{os}^2 r_o^4}{12} \left(\frac{1}{(r_o - r_s)^3} - \frac{1}{x^3} \right). \quad (3.5)$$

Чтобы определить $\Delta P_{ss} = \Delta P(x)$, необходимо знать величины W_{os} и x хотя бы для одного отверстия s . Их можно найти на основе физических соображений, если учесть следующее. В стационарных условиях количество отверстий каждого типа на решетке остается постоянным. В то же время характер работы каждого отверстия, как показывают наблюдения, является периодическим. С течением времени происходит периодическая смена режимов работы отверстий: на одних режимах работы изменяется от g к s , на других — наоборот. Это говорит о том, что в каждый момент времени существуют отверстия s , находящиеся в критическом состоянии, т. е. отверстия, скорость газа в которых равна критической скорости газа W_{oc} , определяемой соотношением (2.3). Эта скорость является максимально возможной для отверстий s .

С другой стороны, поскольку для всех отверстий $\Delta P_{ss} \simeq \text{idem}$, то в случае $H_b \gg a$, как следует из (3.5), максимальная скорость газа должна реализовываться в отверстиях, для которых значение x минимально. Очевидно (рис. 3), минимальными значениями x будут характеризоваться отверстия s , смежные с отверстиями g . Для смежных отверстий s можно принять $x = a - r_o$. Таким образом, принимая, что для отверстий s , примыкающих

к отверстиям g , $x = a - r_o$, а $W_{os} = W_{oc}$, и подставляя эти значения в (3.5), получим уравнение для перепада давления на решетке:

$$\Delta P = \Delta P_{ss} = A_1 \frac{W_{oc} r_o^2}{2} \left(\frac{1}{r_o - r_s} - \frac{1}{a - r_o} \right) + B_1 \frac{W_{oc}^2 r_o^4}{12} \left(\frac{1}{(r_o - r_s)^3} - \frac{1}{(a - r_o)^3} \right). \quad (3.6)$$

Характерная скорость газа в отверстиях s . Выше было принято, что для отверстий s , смежных с g , скорость газа W_{os} равна W_{oc} . Однако таких отверстий должно быть относительно немного, так как на практике отверстия g и s в каждый момент времени распределены по решетке неравномерно. Имеется тенденция к образованию сплошных участков, содержащих отверстия только одного типа. В этих условиях для большинства отверстий s можно принять $x \gg a$. С учетом данного условия (3.5) перепишем в виде

$$\Delta P(x) = A_1 \frac{W_{os} r_o^2}{2} \left(\frac{1}{r_o - r_s} \right) + B_1 \frac{W_{os}^2 r_o^4}{12} \frac{1}{(r_o - r_s)^3}.$$

Отсюда с учетом (3.1) находим

$$W_{os} = \frac{-A_1/2 + (A_1^2/4 + \Delta P_{ss} B_1 / (3(r_o - r_s)))^{1/2}}{B_1 r_o^2 / (6(r_o - r_s)^2)},$$

где ΔP_{ss} определяется соотношением (3.6).

Скорость газа в отверстиях g . Для отверстий g выражение для рассматриваемого перепада давления имеет вид

$$\Delta P = P_p - P_b = \Delta P_g = \zeta_g \frac{\rho_g W_{og}^2}{2}.$$

Здесь ζ_g — коэффициент гидравлического сопротивления, зависящий от организации входа и выхода газа из отверстия [9].

В частности, в случае плоской решетки (рис. 3) отверстие можно рассматривать как диафрагму, для которой отношение площадей сечения отверстия и входного сечения $S_o/S_1 = \varphi$, а отношение площади отверстия к выходному сечению $S_o/S_2 = 1$, поскольку пространство вне пузыря над решеткой заполнено частицами. При известных значениях S_o/S_1 и S_o/S_2 величину ζ_g можно определять по соответствующим таблицам (см., например, [9, с. 196]).

Учитывая, что $\Delta P_g = \Delta P = \Delta P_{ss}$, выражение для W_{og} получим в виде

$$W_{og} = \left(\frac{2\Delta P_{ss}}{\zeta_g \rho_g} \right)^{1/2}.$$

Доли отверстий s и g . Так как на решетке существуют два типа отверстий, то

$$S_s + S_g = 1. \quad (3.7)$$

С другой стороны, зная скорости газа в отверстиях каждого типа, запишем уравнение баланса расхода газа:

$$S_s W_{os} + S_g W_{og} = U/\varphi. \quad (3.8)$$

Решая (3.7) и (3.8) совместно, находим

$$S_s = \frac{W_{og} - U/\varphi}{W_{og} - W_{os}}, \quad (3.9)$$

$$S_g = \frac{U/\varphi - W_{os}}{W_{og} - W_{os}}. \quad (3.10)$$

Расход зернистого материала через решетку. Поскольку расход зернистого материала через одиночное отверстие слабо зависит от высоты и загроможденности плотного слоя над отверстием (если только высота свободного плотного слоя над отверстием превышает его диаметр), можно полагать, что закономерности истечения дисперсного материала через одиночное отверстие [6, 7] и отверстия s одинаковы. При этом расход через решетку определяется суммированием расходов по всем отверстиям s . Зная скорость W_{os} в отверстии s , расход частиц на единицу площади этого отверстия $j_{os}(W_{os})$ определим на основании соотношения (2.2), подставляя вместо W_o величину W_{os} . В этом случае суммарный поток частиц на единицу площади решетки

$$j = j_{os}(W_{os}) \varphi S_s = j_{os}(W_{os}) \varphi \left(\frac{W_{og} - U/\varphi}{W_{og} - W_{os}} \right). \quad (3.11)$$

Пределные скорости газа U_1 и U_2 . Скорость газа U_1 , при которой происходит смена режима истечения на решетке, соответствует максимальной скорости, при которой $S_g = 1$. Эту величину получим, подставив в правую часть (3.9) вместо U значение U_1 и положив левую часть равной единице:

$$U_1 = W_{os} \varphi.$$

Пределная скорость газа, при которой прекращается транспорт частиц через решетку, находится, если в (3.10) положить $S_g = 1$ или в (3.11) $j = 0$. При этом имеем (заменив U на U_2)

$$U_2 = W_{og} \varphi = \varphi \left(\frac{2\Delta P_{ss}}{\zeta_g \rho_g} \right)^{1/2}.$$

4. Анализ полученных результатов. Из анализа полученных расчетных соотношений видно, что величина потока зернистого материала через решетку и критическая скорость газа, при которой истечение частиц прекращается, зависят от большого числа параметров: вязкости газа, плотности газа и частиц, диаметров отверстия и частиц, живого сечения решетки и гидравлического сопротивления отверстия.

На рис. 4 показаны расчетные кривые, отражающие влияние скорости газа и диаметра частиц на расход зернистого материала через решетку. Видно, что с увеличением скорости газа скорость истечения зернистого материала снижается. С уменьшением диаметра

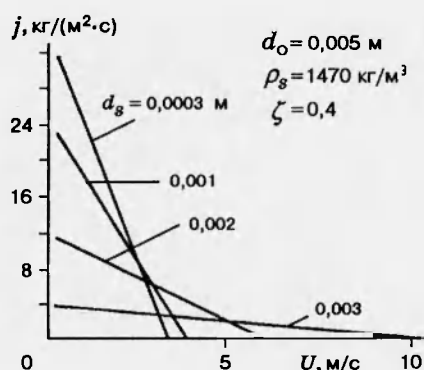


Рис. 4

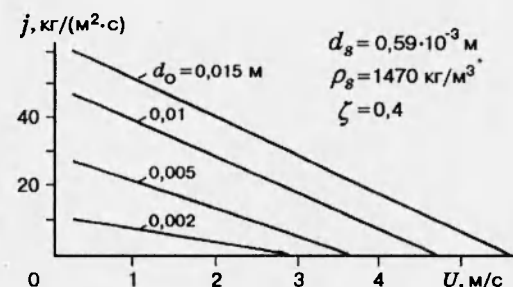


Рис. 5

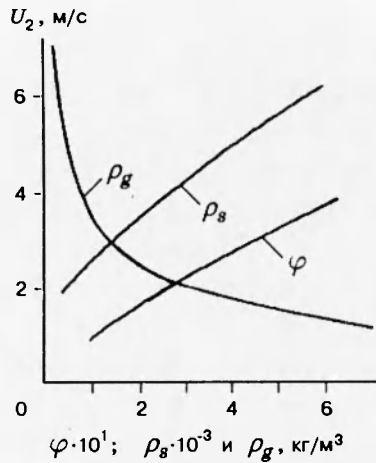


Рис. 6

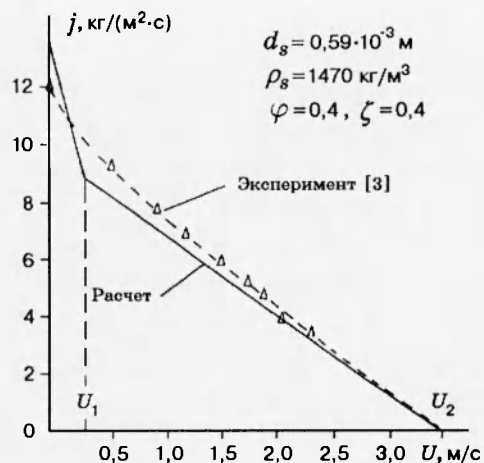


Рис. 7

частиц скорость истечения при низких скоростях газа возрастает, но при этом предельная скорость газа U_2 , при которой истечение зернистого материала через решетку прекращается, уменьшается.

Расчеты показывают, что при одном и том же проходном сечении решетки скорость истечения может быть различной в зависимости от диаметра отверстия (рис. 5): с увеличением диаметра отверстия возрастает как скорость истечения зернистого материала, так и критическая скорость газа U_2 . Расход зернистого материала растет также при увеличении проходного сечения решетки и плотности частиц. На рис. 6 показано влияние плотности газа и частиц, а также проходного сечения решетки на предельную скорость газа. Кривые $U_2(\rho_g)$, $U_2(\rho_s)$ рассчитаны для $d_o = 5,0 \cdot 10^{-3}$ м, $d_s = 0,1 \cdot 10^{-3}$ м, $\varphi = 0,4$; $U_2(\varphi)$ — для $d_o = 2,35 \cdot 10^{-3}$ м, $d_s = 0,59 \cdot 10^{-3}$ м, $\rho_s = 1470$ кг/м³. Видно, что U_2 уменьшается при увеличении плотности газа и возрастает (непропорционально) при увеличении плотности частиц и проходного сечения решетки.

В целом имеет место качественное соответствие с наблюдаемыми на практике [4] закономерностями изменения U_2 и j . Количественное сравнение из-за отсутствия необходимой информации можно провести лишь с экспериментальными данными [3] (рис. 7). В [3] применялась секционирующая перегородка с живым сечением $\varphi = 0,4$. Полагая (см. выше) $S_o/S_1 = \varphi = 0,4$, $S_o/S_2 = 1$ и пользуясь таблицей для гидравлического сопротивления диафрагмы [9, с. 196], можно установить, что для рассматриваемого случая $\zeta_g = 0,4$. Величина порозности свода ε , как это обосновано в [7], принята равной 0,5.

Из рис. 7 видно, что расхождение между результатами экспериментов (точки) и расчета (сплошные линии) во всем диапазоне скоростей газа не превышает 10 %. Экстраполяция экспериментальных данных до скорости, при которой истечение частиц прекращается, позволяет также получить значение критической скорости U_2 , близкое к расчетному.

Интересно отметить, что небольшое качественное различие эксперимента и теории имеет место в области малых скоростей. Результаты расчетов дают относительно резкое снижение расхода частиц в очень узком диапазоне малых скоростей газа ($0 < U < U_1$), соответствующем равномерному режиму истечения. В экспериментах такого резкого снижения расхода частиц не наблюдается. Здесь этот диапазон скоростей более растянут. Отмеченные несоответствия легко объяснить, если предположить, что на практике при-

нятое в модели равномерное распределение газа по отверстиям в области малых скоростей выполняется нестрого. Причиной этому могут быть, например, дефекты изготовления решетки или неравномерность по объему слоя плотности начальной засыпки. В такой ситуации смена режима работы отверстий происходит на части решетки раньше, благодаря чему темп падения j замедляется. При дальнейшем увеличении скорости произойдет псевдоожжение дисперсного материала, и неравномерность засыпки скажется не будет.

5. Заключение. Предложенная модель истечения дисперсного материала через решетку при наличии противотока газа позволила получить не содержащие новых эмпирических коэффициентов и хорошо согласующиеся с экспериментальными данными соотношения для расчета расхода зернистого материала и предельной скорости газа, при которой транспорт частиц через решетку прекращается. Для узких диапазонов параметров эти соотношения могут иметь более простой вид, например, в тех случаях, когда можно пренебречь одним из членов в уравнении Эргана. Предложенная теория позволяет оценить также локальные характеристики процесса, такие как перепад давления на решетке, средние скорости газа в отверстиях, работающих в различных режимах, доли этих отверстий и др. Изложенный подход к анализу транспорта зернистого материала через решетку при наличии противотока газа может быть применен при рассмотрении процесса транспорта зернистого материала через решетки со щелевыми отверстиями с заданным законом распределения параметров отверстий по сечению решетки (эта задача возникает, например, при разработке аппаратов с заданной циркуляцией частиц в объеме слоя и в других случаях), а также при определении условий исключения попадания зернистого материала в подрешеточное пространство опорной газораспределительной решетки в аппаратах псевдоожженного слоя. Хорошее совпадение результатов расчета и экспериментов по транспорту зернистого материала через решетку можно также рассматривать как дополнительное подтверждение элементарной теории истечения зернистого материала из одиночного отверстия при наличии противотока газа [6, 7], основные положения и результаты которой были использованы в данной работе.

ЛИТЕРАТУРА

1. Буфетов Н. С., Кувшинов Г. Г., Могильных Ю. И. Исследование многосекционного топочно-теплообменного аппарата с кипящим слоем // Процессы переноса в энергохимических многофазных системах. Новосибирск: Ин-т теплофизики СО АН СССР, 1983. С. 14–27.
2. Kai T., Takohashi T., Ajiora M., et al. Effect of internal baffles on conversion of hydrogen chloride oxidation and pressure fluctuations in a fluidized catalyst bed // J. Chem. Eng. Japan. 1988. V. 21, N 6. P. 655–657.
3. Бурдуков А. П., Кувшинов Г. Г., Мухин А. И. Тепло- и массоперенос через горизонтальную провальную решетку в псевдоожженном слое // ПМТФ. 1990. № 5. С. 81–88.
4. Тюряев И. Я., Буйлов А. Б. Исследование и расчет сетчатых решеток для секционированных реакторов со взвешенным слоем катализатора // Журн. прикл. химии. 1962. Т. 35, № 10. С. 2224–2230.
5. Мартюшин И. Г., Головин В. Н. К исследованию аппаратов с псевдоожженным слоем, секционированных провальными тарелками // Процессы, аппараты и машины химических производств. М.: Машиностроение, 1964. Т. 26. С. 23–32.

6. Kuvshinov G. G. Gravity effluxtion of solid particles from a fluidized bed to a free bulk through a horizontal grid under gas counter flow // Int. Meeting on Chem.Eng. and Biotechn. (ACHEMA-94): Abstrs. 1994. P. 7. 6.
7. Кувшинов Г. Г. Истечение зернистого материала из отверстия при наличии противотока газа // ПМТФ. 1995. Т. 36, № 6. С. 85–93.
8. Гольдштик М. А. Процессы переноса в зернистом слое. Новосибирск: Ин-т теплофизики СО АН СССР, 1984.
9. Чугаев Р. Р. Гидравлика. Л.: Энергоиздат, 1982.

Поступила в редакцию 23/XI 1994 г.
